Vol. 25 No. 4 Dec. , 2003

祁连山—六盘山地震带中强地震活动 特点及震前异常特征

柴炽章,马禾青,金春华

(宁夏回族自治区地震局,宁夏银川 750001)

摘要 将祁连山—六盘山地震带分为东、中、西三段 以分段的方式研究了该带中强地震的迁移特点 并对各段地震活动进行了统计研究 得到各段的迁移规律和各段中强地震震前异常特征.

关键词:祁连山—六盘山地震带;分段;异常

中图分类号 :P315.7 文献标识码 :A 文章编号 :1000 - 0844(2003)04 - 0354 - 05

0 引言

祁连山—六盘山地震带(图1)东起陕西宝鸡,西止甘肃的昌马,长约1200 km,呈北西向展布在青藏块体的东北缘区^[1]. 该地震带由一系列 NWW、NW 以及 NNW 向第四纪活动十分强烈的断裂构成^[2~3],主要表现为挤压逆冲和左旋走滑运动,历史上发生过10多次7级以上强震或大震. 仅20世纪以来,就先后发生了1920年海原8.5级、1927年古浪8级和1932年昌马7.6级3次大震. 其频度之高,强度之大,在中

国大陆实属少见. 近年来,该带中强地震活动频繁. 地震工作者从不同角度对该带已做了不少的工作^[4~6]. 本文对该带 1950 40°N 年以来的5级以上地震和1970年以来的2.8级以上地震样本进行了整体和分区统计,以研究该带中强地震的活动规律及震前异常特征,得到的结果将有益于今后对祁连山—六盘山地震带中强地震的预测.

1 祁连山—六盘山地震带中强 地震活动特征

1.1 地震迁移图像

分别以 NNW 走向的庄浪河断裂和榆木山断裂为界,将祁连山—六盘山地震带分为东、中和西三段(图1). 1950 年以来祁连山—六盘山地震带先后发生了25次5级以上地震(不含余震),其中5.0~5.4级17次5.5~5.9级5次为.0~6.4级3

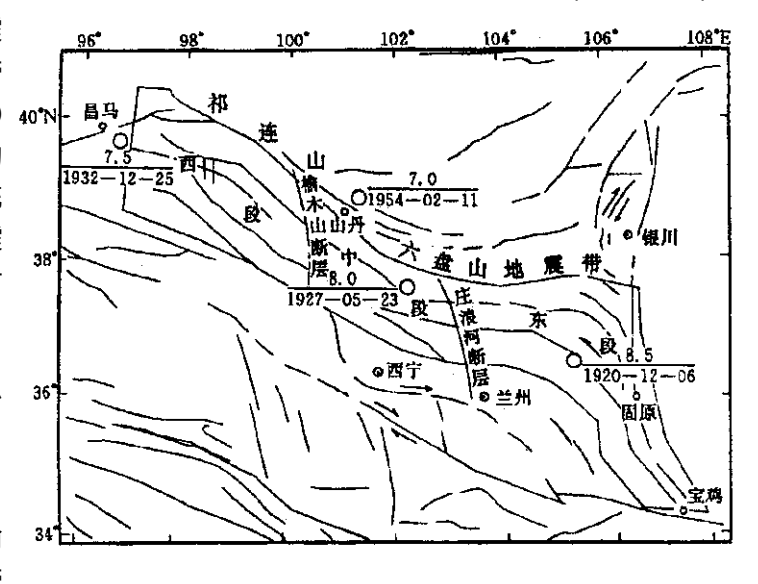


图 1 祁连山—六盘山地震带及其分区示意

Fig. 1 Sketch of Qilian Mt. - Liupan Mt. earthquake belt and its divisional areas.

次(表 1). 上述 25 次地震中 ,有 6 次发生在东段 6 次发生在中段 ,另有 13 次发生在西段. 图 2 展示了该带 1950 年以来的 5 级以上地震震中迁移情况. 从中可以看出以下几个特点:

| 1X I | 种廷山一八盆山地辰市 1950 牛以木 M ≥ 5. 0 地辰日水 | | | | |
|------------|-----------------------------------|------------------|-------|------|------------|
| 时间 | 纬度(N) | 经度(E) | 地点 | 震级/M | —— 所处段落 |
| 1955-05-04 | 38.00° | 101.00° | 甘肃民乐 | 5.0 | 中段 |
| 1957-03-23 | 38.00° | 98.50° | 青海天峻 | 5.0 | 西段 |
| 1958-11-30 | 38.10° | 100.10° | 青海祁连 | 5.1 | 西段 |
| 1959-01-31 | 36.30° | 105.80° | 宁夏海原 | 5.0 | 东段 |
| 1959-01-31 | 37.00° | 104.00° | 甘肃景泰 | 5.3 | 东段 |
| 1962-08-01 | 39.20° | 98.60° | 甘肃肃南 | 5.4 | 西段 |
| 1970-12-03 | 35.93° | 105.58° | 宁夏西吉 | 5.5 | 东段 |
| 1975-01-04 | 38.80° | 97.60° | 青海天峻 | 5.3 | 西段 |
| 1980-04-18 | 37.86° | 99.13° | 青海天峻 | 5.2 | 西段 |
| 1982-04-14 | 36.71° | 105.63° | 宁夏海原 | 5.5 | 东段 |
| 1984-01-06 | 37.96° | 102.17° | 甘肃武威 | 5.3 | 中段 |
| 1984-02-17 | 37.74° | 100.74° | 青海祁连 | 5.3 | 西段 |
| 1986-08-26 | 37.78° | 101.63° | 青海门源 | 6.4 | 中段 |
| 1988-11-22 | 38.57° | 99.60° | 甘肃肃南 | 5.2 | 西段 |
| 1990-10-20 | 37.11° | 103.72° | 甘肃景泰 | 6.2 | 东段 |
| 1991-01-02 | 38.20° | 99.90° | 青海祁连 | 5.1 | 西段 |
| 1991-10-01 | 37.80° | 101.40° | 甘肃肃南 | 5.2 | 中段 |
| 1992-01-12 | 39.70° | 98.30° | 甘肃嘉峪关 | 5.4 | 西段 |
| 1992-06-21 | 38.50° | 99.50° | 甘肃肃南 | 5.0 | 西段 |
| 1993-10-26 | 38.60° | 98.70° | 青海祁连 | 6.0 | 西段 |
| 1995-07-22 | 36.50° | 103.00° | 甘肃永登 | 5.8 | 中段 |
| 1996-06-01 | 37.20° | 102.90° | 甘肃天祝 | 5.4 | 中段 |
| 2000-06-06 | 37.10° | 104.00° | 甘肃景泰 | 5.9 | 东段 |
| 2001-07-11 | 39.20° | 98.00° | 甘肃肃南 | 5.3 | 西段 |
| 2002-12-16 | 39.80° | 97.30° | 甘肃玉门 | 5.9 | 西段 |
| | | | | | |

表 1 祁连山—六盘山地震带 1950 年以来 M≥5.0 地震目录

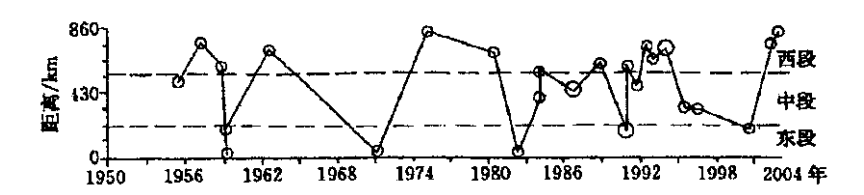


图 2 祁连山—六盘山地震带 $M \ge 5.0$ 地震迁移图

Fig. 2 Migration figure of M ≥5.0 earthquakes occurred on Oilian Mt. – Liupan Mt. earthquake belt.

- (1)在东段的6次地震中,除了1959年1月31日在宁夏的海原与西吉交界和甘肃景泰东部同一天连续发生了2个5级地震外,其它事件均为单发形式.东段事件发生后,多数很快向西段或中段西部迁移.5次事件(1959年同一天的两次地震作为一次对待)后,有4次直接迁至西段,1次迁到中段.
- (2)中段地震单发与连发都存在.除了1996年天祝5.4级地震后向东迁移,于2000年在东段西部发生了景泰5.9级地震外,其它5次事件后的地震迁移主要在西段或本段.
- (3)西段也是单发与连发都存在. 迁移活动较复杂. 在已经发生过的西段向中、东段的7次地震迁移中,有4次为仅发生了一次地震即立即迁移2次为发生了两次地震后迁移,只有一次为发生了3次地震后才迁移.

在东段发生的 6 次事件中,有 4 次是由西段直接迁入,其中宁夏境内发生的 3 次地震均由西段直接迁入.该带最新的地震是 2002 年 12 月 16 日发生在甘肃玉门的 5.9 级地震和 2001 年甘肃肃南 5.3 级地震,即西段已发生了 2 次地震,下一个地震发生在中东段的可能性较大.每次迁移所需的时间从 2 个月到 8 年不等,但以 2 年左右居多,在 7 次迁移中占了 4 次.

1.2 b 值异常

按赵卫明等①的研究结果,祁连山—六盘山地震带的监测能力从 1970 年本区有台网以来在考虑最高监控能力的情况下,至少应取至 M_1 2.7. 地震带 $M \ge 5.5$ 以上地震发生前 b 值大都出现过中期和中短期异常。图 3 是本区 1970 以来的 b 值时间扫描曲线。震级下限 M_0 取 2.8 ΔM 为 0.2 时间窗口 W 为 12 m 步长 S 为 3 m. 为了能够更清楚地寻找规律,图中除了给出了原始地震数据处理曲线 (a),同时还给出了剔除 $M \ge 5.5$ 主震事件的处理曲线 (b). 本区 1970 年以来共发生了 8 次 $M \ge 5.5$ 地震。从曲线 (b)中看,除了 1970 年 12 月 3 日西吉地震与统计起始时段同步,无法判断震前有无异常,7 次中有 5 次震前的中期和中短期异常都很显著。中期异常表现为在震前 1 ~ 2 年时段里 b 值显著偏低,一般低于 0.68 时间持续 1 年左右,中短期异常显示为高 b 值,有 3 次地震前出现过 b 值大于 1 的现象。注意中短期异常必须建立在有中期低值异常的基础上,但 b 值时间扫描曲线存在虚报和漏报现象。

2 祁连山—六盘山地震带的分段活动特征

对祁连山—六盘山地震带的东、中、西三段分别进行地震资料统计. 频次统计的震级下限 M_0 取 2.8;时间窗口 W 为 12 m 步长 S 为 6 m. 缺震统计的震级下限 M_0 取 2.8 时间窗口为 12 m 步长为 3 m. 结果显示各段有不同特征.

2.1 东段活动特征

祁连山—六盘山地震带东段 1970 年以来的地 1.3 震资料 删除余震) 显示了以下几个特征:

- (1)除了1970年西吉地震(处在统计开始时 0.9 0.7 段),其它3次地震震前都有比较清楚的低频次中 期异常.从图4(a)中看,1970年以来东段共出现过 5次低频次异常,其中对应了1982年海原5.5级地震,1990年景泰6.2级地震和2000年景泰5.9级地 1.3 震.另外利用1965~1970年期间的宁夏地震目录, 1.1 则可得到1970年西吉地震的中期频次低值异常也 0.9 0.9 是很典型的②. 地震频次的低值异常在东段的映震 0.5 率达到60%以上,而目没有漏报事件.
- (2)与频次时间扫描曲线类似,本段中强地震发生前的缺震时间扫描曲线也反映出清楚的中期异常.图4(b)显示,从1971年开始到2001年底本段共出现过5次缺震异常,分别是1980年,1983~

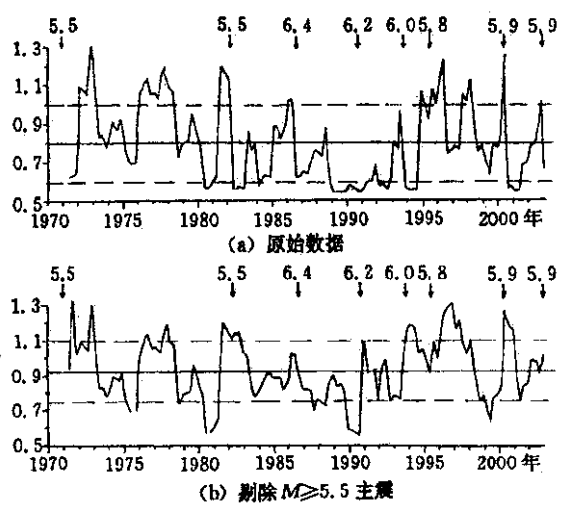


图 3 祁连山—六盘山地震带 b 值曲线 Fig. 3 B value curves of Qilian Mt. —Liupan Mt. earthquake belt.

1984 年 ,1984 ~ 1985 年 ,1988 ~ 1989 年和 1996 ~ 1997 年. 其中 3 次均在异常恢复过程中发生了 $M \ge 5.5$ 地震.

(3)从 1950 年以来地震发生的时间分析 ,东段 5 级以上地震发生总体上有 10 年左右的复发规律. 表 1 显示 ,本段 1949 年以来共发生了 6 次 $5\sim6$ 级中强地震 ,除了 1959 年 1 月 31 日在海原和景泰同一天发生了 2 次 5 级地震外 ,其它事件间隔分别为 11.8 年、11.3 年、8.5 年和 9.7 年 ,平均间隔为 10.3 年.

2.2 中段活动特征

祁连山—六盘山地震带中段 1970 年以来的地震资料统计显示了如下特征:

(1)从图 5(a)得到,1970年以来在中段发生过的5次5级以上地震中震前频次时间扫描曲线均出

① 赵卫明 等. 国家"十五"科技攻关计划子专题(2001BA601B01-03-04)研究报告. 2003.

② 宁夏回族自治区地震局. 宁夏回族自治区 1998 年度地震趋势研究报告. 1997.

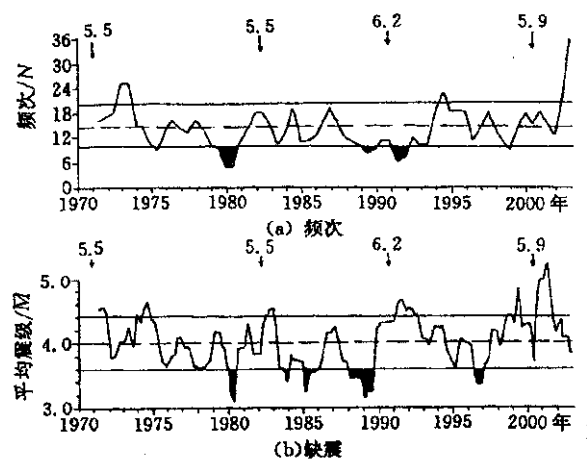


图 4 祁连山—六盘山地震带东段频次和缺震曲线

Fig. 4 Curves of frequency and earthquake absent in the east section of Qilian Mt. —Liupan Mt. earthquake belt.

现过中期异常. 其中 3 次为低值异常 2 次为高值异常. 低值异常出现在震前 $1 \sim 2$ 年,而 $1994 \sim 1997$ 年出现的高值异常则对应了 1995 年 7 月 22 日甘肃永登 5.8 级地震和 1996 年 6 月 1 日甘肃天祝 5.4 级地震,异常于震后恢复.

(2)中段的缺震时间扫描曲线(图5(b))显示,1970年以来先后出现过7个显著低值时段,其中前2个时段出现在上世纪70年代,整个中段没有5级以上地震.上世纪80年代以来的后5个低值时段中,前4个结束后2年内发生了5级多地震,中期低值异常比较突出.

2.3 西段活动特征

祁连山—六盘山地震带西段 1970 年以来的地震资料统计结果如下:

图 6 为西段缺震时间扫描曲线(震级下限 M_0 3. 0). 从中可以看出 1970 年以来共出现了 6 次显著的低值 异常. 其中第一次出现在资料起始之前,因而过程不完整,异常结束后 1 ~ 2 年也无相应地震发生. 另外 5 次中

的 4 次于异常结束后的 $1 \sim 2$ 年均有地震与之对应. 最后一次异常持续时间最长 ,有 2 年多 ,于 2001 年中结束 ,之后发生了 2 次相应地震.

3 结语

(1)将祁连山—六盘山地震带分为东、中和西三 冬袋 段进行讨论,得到了该地震带 1950 年以来中强地震的 活动特点和迁移规律. 另外 b 值时间扫描曲线显示,约 70 % 5.5 级以上地震发生前会出现 b 值异常.

(2)对祁连山—六盘山地震带分段进行地震资料统计得到:东段5级以上地震发生总体上存在10年左对右的复发规律,地震频次和缺震曲线异常的映震率均达60%以上,无漏报事件;中段5级以上地震发生前均出现过地震频次异常80%的5级以上地震发生前出现过缺震异常;西段缺震曲线异常的映震率则为67%.

(3)根据本文的工作结果,今后在对祁连山—六盘山地震带的中强地震进行预测时,可先根据迁移规律来初步判定未来中强地震发生的部位,然后再根据地震资料统计结果来给出未来地震发生的中短期预测.若同期出现祁连山—六盘山地震带的 b 值异常,则

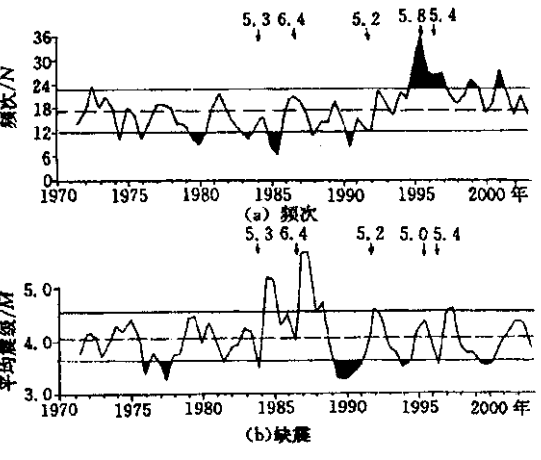


图 5 祁连山—六盘山地震带中段频次和缺震曲线

Fig. 5 Curves of frequency and of earthquake absent in the middle section of Qilian Mt. —Liupan Mt. earthquake belt.

未来地震震级可能大于 5.5. 笔者所进行过的预报实践为 :在 2001 年 7 月 11 日甘肃肃南裕固族自治县 5.3 级地震发生后 根据迁移规律认为下一次 5 级以上地震还应该发生在西段 ,但由于当时认为地震资料统计结果没有明显异常 ,因此认为未来中短期发震的可能性不大. 现在再反思 ,发现西段缺震曲线最后一次异常持续的时间 ,为最长的一次 ,而所对应的震级偏小 ,短期内再发生一次中强地震是完全可能的. 此次预测留下了遗憾.

(4)根据地震迁移规律可得未来祁连山—六盘山地震带最有可能发生中强地震的部位在中段. 另外,中段频次时间扫描曲线分别于 1998~1999 年和 2000~2001 年出现了两次高值异常,异常已恢复一年多;本段第6个缺震低值异常出现在 1999 年 2 月~2000 年 3 月,目前异常结束已经 2 年多. 综上所述可以认为,未来 1~2 年祁连山—六盘山地震带中段有可能发生 5.0级以上地震,值得特别关注. 地震迁移图像和地震资料统计结果显示:祁连山—六盘山地震带东段和西段未来 1~2 年发生 5.0 级以上地震的可能性则较小.

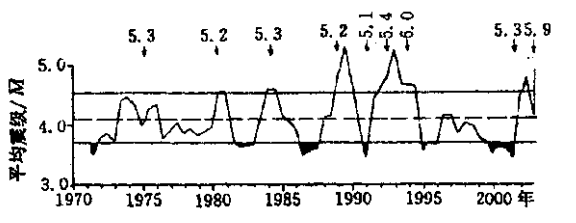


图 6 祁连山—六盘山地震带西段缺震曲线

Fig. 6 Curve of earthquake absent in the west section of Qilian Mt—Liupan Mt. earthquake belt.

[参考文献]

- [1] 国家地震局《中国岩石圈动力学地图集》编委会.中国岩石圈动力学地图集 Z].北京:中国地图出版社 ,1989.
- 「27 国家地震局《鄂尔多斯周缘活动断裂系》课题组.鄂尔多斯周缘活动断裂系[M7.北京 地震出版社.1988.
- [3] 国家地震局地质研究所,宁夏回族自治区地震局.海原活动断裂带 M].北京 地震出版社 1990.
- [4] 刘小凤,刘百篪,杨立明.祁连山中东段三维构造物理模型及其在地震预报中的应用[J].西北地震学报 2000 **22**(2):110—117.
- [5] 王永成 刘百篪. 祁连山中东段断裂的地震危险性分析 J]. 西北地震学报 2001 **23(**4) 330—337.
- [6] 程建武 杨立明 ,王振亚. 祁连山地震带地震活动性增强现象研究 J]. 西北地震学报 2002 24(4) 330—334.

FEATURES OF MODERATE-STRONG EARTHQUAKE ACTIVITY AND ANOMALOUS FEATURES BEFORE EARTHQUAKES IN QILIAN MT. —LIUPAN MT. EARTHQUAKE BELT

CHAI Chi-zhang, MA He-ging, JIN Chun-hua

(Seismological Bureau of Ningxia Hui Autonomous Region Ningxia Yinchuan 750001 China)

Abstract: In this paper ,Qilian Mt. – Liupan Mt. earthquake belt is divided into three sections: the east , the middle and the west section. The migration features of moderate-strong earthquakes among sections are studied , and the statistical study on seismicities of every section is done also. So the migration regulations and the anomalous features before moderate-strong earthquakes in three sections of Qilian Mt. — Liupan Mt. earthquake belt are obtained.

Key words Qilian Mt. —Liupan Mt. earthquake belt; Dividing section; Anomaly